文章编号:1000-7601(2017)01-0211-08

doi: 10.7606/j. issn. 1000-7601.2017.01.32

基于 MCI 指标的甘肃省近 50 年干旱特征分析

成青燕1,2,高晓清3,林 纾1,2,赵红岩1,2,杨苏华1,2

(1.中国气象局兰州干旱气象研究所,甘肃省干旱气候变化与减灾重点实验室,

中国气象局干旱气候变化与减灾重点实验室, 甘肃 兰州 730020;

2. 西北区域气候中心, 甘肃 兰州 730020;

3.中国科学院寒区旱区环境与工程研究所寒旱区陆面过程与气候变化重点实验室,甘肃 兰州 730000)

摘 要:基于甘肃省16个气象站1961—2010年改进气象干旱指标(MCI)对甘肃省近50年不同季节的干旱特征进行了统计分析。结果表明:春旱和夏旱发生频率最高,为55.4%和55.0%;秋旱发生频率最低,为41.1%;冬季干旱发生频率为46.3%。全省夏秋季易出现大范围干旱,冬季较少。近50年来,干旱发生范围在全年各季节都有不同程度增加。春季各等级干旱发生天数均较高,且更容易发展成为重旱甚至特旱;夏季和冬季易发生大范围的轻旱和中旱,而严重干旱发生较少;秋季干旱发生日数最少,且干旱强度也最轻。总的来说,甘南地区干旱发生最少,而河西东部、陇中北部和陇南南部发生干旱较多。近50年,研究区干旱平均持续日数、发生干旱站次比以及干旱强度虽有不同程度增加或减少趋势,但变化并不显著。春季干旱强度最强,秋季最弱。干旱强度与无雨日数有显著负相关关系。

关键词: 甘肃省; MCI 指标; 干旱特征中图分类号: P429 文献标志码: A

Drought characteristics analysis of Gansu in recent 50 years based on meteorological drought composite index

CHENG Qing-yan^{1,2}, GAO Xiao-qing³, LIN Shu^{1,2}, ZHAO Hong-yan^{1,2}, YANG Su-hua^{1,2}

- (1. Key Laboratory of Arid Climatic Change and Disaster Reduction of Gansu Province/Key Laboratory of Arid Climatic Change and Disaster Reduction of China Meteorological Administration, Institute of Arid Meteorology, China Meteorological Administration, Lanzhou, Gansu 730020, China;
 - 2. Climate Center of Northwest Region, Lanzhou, Gansu 730020, China;
 - 3. Key Laboratory of Land Surface Process and Climate Change in Cold and Arid Regions, Cold and Arid Regions Environmental and Engineering Research Institute, Lanzhou, Gansu 730020, China)

Abstract: Based on the data of MCI value during 1961—2010 from the national climate center, we worked for the drought characteristics in Gansu province. The study shows that: the drought occurred in higher frequency in spring (55.4%) and summer (55.0%), and relatively lower frequency in autumn (41.1%) and winter (46.3%). The large-scale drought in the whole area occurred mostly in summer and autumn, but least in winter. Moreover, the drought-suffered area is still extended in various seasons during the latest 50 years. Considering frequency and severity of drought, longer different grades of drought occur in spring, and easily develop to the severe drought. In summer and winter, light and mederate drought easily happens in large area, but rarely severe drought occurs. Drought in autumn is mild with short duration Compared regional difference of drought occurrence, Gannan area has less drought, while eastern part of Hexi, northern part of Longzhong and southern part of Longnan have higher drought frequency. In the latest 50years, annual average and daily mean of drought duration, drought-suffered stations proportion and drought intensity were fluctuant without a significant sense. Drought intensity is the strongest in spring and the weakest in autumn. The significant negative correlation was observed between drought intensity and rainless days.

Keywords: Gansu province; MCI index; characteristics of drought

收稿日期:2016-01-10

基金项目:国家自然基金面上项目(41175081)

作者简介:成青燕(1985—),女,青海乐都人,硕士,工程师,主要从事短期气候预测研究。E-mail; chqv0810@163.com

甘肃省地处我国内陆,经纬跨度大,地形复杂,东西、南北气候差异明显,属于干旱半干旱气候区。干旱是甘肃省主要的自然灾害之一,干旱造成的损失占全省气象灾害的 70%以上,是甘肃省经济社会可持续发展的重要影响因素[1-4]。干旱既可以指一地的气候状态,譬如干旱气候;也可以指某段时间降水量相对同期气候降水量偏少的状况,如果这种偏少的状况对经济社会造成明显损失,就成为干旱灾害。后者所说的干旱可分为气象干旱、水文干旱、农业干旱和社会经济干旱,气象干旱是其他各类干旱发生的主要原因[5-8]。本文主要研究气象干旱。

干旱是一个缓慢的累积过程,某月的干旱程度 不仅与当月降水量有关,而且与前期降水的累积效 应、土壤水分变化等因素有关。为了表示干旱的严 重程度,人们定义了不同的干旱指标。目前关于干 旱指标的研究很多,其中气象干旱指标就有降水量 距平百分率、相对湿润指数、标准化降水指数、土壤 相对湿度指数、帕默尔干旱指数等,科研人员利用这 些干旱指标对西北地区及我国其他干旱多发地区干 旱的时空变化规律进行了研究[9-15],也得到了一些 有意义的结论。但是由于干旱的形成原因复杂,影 响因素多,因此干旱指标的适用性具有明显的地域 性和时间尺度限制。以标准化降水指数、相对湿润 指数为基础的气象干旱综合指数 CI,使得用同一个 干旱指标反映不同时间尺度和不同方面的水分盈亏 成为可能,既适合不同季,又适合不同区域的要求。 但是随着近年来干旱监测的发展和完善, CI 指数也 暴露出一定的问题,如干旱发展的跳跃现象、长期积 累的干旱无法识别、对近期降水过于敏感等。因此, 我们将原有的 CI 指数改进,得到新的气象干旱指标 MCI,不但具有 CI 指数的优点,同时克服了 CI 指数 的缺点。本文利用甘肃省近50年的改进气象干旱 指标 MCI 资料,综合分析甘肃省干旱发生的时空分 布以及变化规律,总结甘肃省干旱的基本特征,以期 对干旱的监控、预测预警、防御和减灾工作提供参考 和依据。

1 资料来源与研究方法

1.1 资料来源

本文所用资料为国家气候中心统一下发的全国722个站1961—2010年逐日MCI指数,其中甘肃省为16个站,站点分布以及所选区域如图1所示。我们根据水热条件,将全省分为6个气候区,将16站划分如表1,分别代表河西东部、陇中北部、陇中南部、陇东、陇南和甘岷地区。

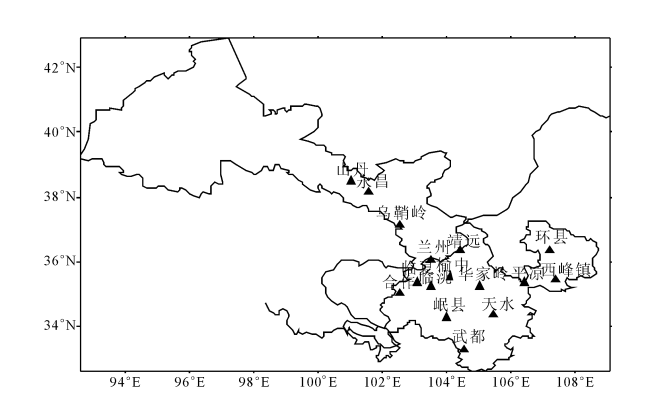


图 1 MCI 指数甘肃省内站点分布

Fig. 1 The spatial distribution of the meteorological stations in Gansu province

表 1 代表站分区信息

Table 1 Partition of representative stations

rusio i rumno	ir or representative stations
站名 Station	归属区 Location
山丹 Shandan	
永昌 Yongchang	河西东部 East of Hexi corridor
乌鞘岭 Wushaoling	
兰州 Lanzhou	
靖远 Jingyuan	陇中北部 Middle North of Gansu region
榆中 Yuzhong	Madie Hold of Califa Togron
临夏 Linxia	
临洮 Lintao	陇中南部 Middle south region of Gansu
华家岭 Huajialing	Middle south region of Gansu
环县 Huanxian	
平凉 Pingliang	陇东 East region of Gansu
西峰镇 Xifengzhen	
合作 Hezuo	the comment
岷县 Minxian	甘岷 Gannan and Minxian
武都 Wudu	#L-+ 0 1
天水 Tianshui	陇南 South region of Gansu
·	·

1.2 改进气象干旱指标的计算方法

改进气象干旱指标(MCI)是利用近 60 d 的标准 化权重降水指数和近 30 d 相对湿润指数,以及近 90 d、近 150 d 标准化降水指数进行加权求和而得。该 指标既考虑到长期降水对农业的影响,同时反映了 近期降水和蒸散对水分盈亏的影响,不但解决了以往的干旱监测发生跳跃的问题,还解决了以往的指数反映干旱偏轻的问题,因此,改进的气象干旱指标 MCI 适合实时气象干旱监测又可以进行历史同期气象干旱评估[16]。

参考气象干旱等级国家标准(GB/T 20481 - 2006),改进气象干旱指标 MCI 的计算公式为:

 $MCI = a \times SPIW_{60} + b \times MI_{30} + c \times SPI_{90} + d \times MI_{30} + c \times SPI_{90} + d \times MI_{90} + d \times$

 $SPI_{150} \tag{1}$

式中: $SPIW_{60} = SPI(WAP)$; $WAP = \sum_{n=0}^{60} 0.95^n Pn$; $SPIW_{60}$ 为近 60 d 标准化权重降水指数值, 式中 Pn 为距离当前 n 天降水量, 表征前期降水对后期旱涝的衰减贡献; MI_{30} 为近 30 d湿润度指数值, 表征了月尺度降水量与蒸发量之间的平衡关系; SPI_{90} 为近 90 d标准化降水指数 SPI 值。 SPI_{150} 为近 150 d标准化降水指数 SPI 值。二者主要表征长时间尺度上降水量的多少。总体上,MCI 指数前两项反映近期降水亏缺,而后两项反映长期降水亏缺,物理意义明确,能较好地反映区域干旱在时空上的发生、发展及结束

过程,对区域干旱监测具有一定的应用价值。a,b,c,d分别为经验系数,随着地区和季节的变化进行调整,经过将近 2 年的业务实践和不断试验,本文所研究区域冬春季确定为:0.2、0.2、0.3、0.4;夏秋季确定为:0.3、0.4、0.3、0.2。通过(1) 式,利用前期平均气温、降水量等数据可以计算出每天的干旱综合指数 MCI。

成青燕等^[17]研究表明,MCI 指数作为干旱监测指标之一,与 SPI 指数、CI 指数、K 指数相比较,在研究区具有更好的区域适用性。因此,根据 MCI 指数对研究区进行干旱分析评估是科学合理的。MCI 指数值的大小划分干旱等级见表 2。

表 2 气象干旱等级的划分

Table 2 Drought classification by MCI value

Table 2 Diought characters by Met value					
等级 Grade	类型 Type	MCI	干旱影响程度 The impacts of drought		
1	无旱 Drought-free	> -0.5	地表湿润,作物水分供应充足;地表水资源充足,能满足人们生产、生活需要。 There is enough water in soil to meet the needs of crop growth and people's live, and the air is wet.		
2	轻早 Light drought	-1.0~ -0.5	地表空气干燥,土壤出现水分轻度不足,作物轻微缺水,叶色不正;水资源出现短缺,但对人们生产、生活影响不大。 The surface water is a little scarcity, so the air is dry and the soil water is not enough to keep the leaves green. But it's still had a little impact on people's live.		
3	中旱 Moderate drought	-1.5~ -1.0	土壤表面干燥,土壤出现水分不足,作物叶片出现萎蔫现象;水资源短缺,对人们生产、生活产生影响。 The surface water become scarce, soil start to dry, leaves all wilting, people's live is influenced.		
4	重早 Severe drought	-2.0~ -1.5	土壤水分持续严重不足,出现干土层,作物出现枯死现象,产量下降;河流出现断流,水资源严重不足,对生产、生活影响较重。 A steady serious shortage of the surface water leads to dried soil layer thickening; and crops are partial blighted, crop yield is declined; some rivers are dried up; people's live is relatively badly influenced.		
5	特旱 Extra severe drought	≤ -2.0	土壤水分持续严重不足,干土层较厚,作物大面积枯死,产量严重下降,甚至绝收;多条河流断流,水资源严重不足,对生产生活影响严重。 A steady serious shortage of the surface water leads to a deeply dried soil layer; and crops are massive blighted, total crop yield is declined or wiped out; many rivers are dried up; people's live is badly influenced		

根据全国气候影响评价(2013 年) $^{[18]}$ 中干旱评价方法与标准,定义某区域干旱指数 MCI_d :

$$MCI_d = \frac{2}{m} \sum_{j=1}^{m} MCI_j, \ MCI_j \leqslant -0.5$$
 (2)
式中, MCI_d 为某站(区域) j 站综合干旱指数; m 为某
区域内的站数。区域综合干旱指标 MCI_d 等级及相应

的干旱类型见表 3。 1.3 **干旱过程的定义**

当改进气象干旱指标 MCI 连续 10 d 为轻旱以上等级,则确定为发生 1 次干旱过程。干旱过程的开始日为第 1 天 MCI 指数达轻旱以上等级的日期。在干旱发生期,当 MCI 连续 10 d 为无旱等级时干旱解除,同时干旱过程结束,结束日期为最后 1 次 MCI 指数达无旱等级的日期。干旱过程开始到结束期间

的时间为干旱持续时间。干旱过程内所有轻旱以上等级 MCI 指数之和,表示干旱过程强度,其值越小,干旱过程越强。当某一时段内至少出现 1 次干旱过程,并且累积干旱持续时间超过所评价时段的 1/4时,则认为该时段发生干旱事件,其干旱强度由时段内 MCI 值为轻旱以上的干旱等级之和确定。本文主

表 3 区域干旱指标等级标准

Table 3 Drought classification by MCI value

等级 Grade	类型 Type	MCI	
4	无干旱 Drought-free	-0.5 < MCI	
5	轻旱 Light drought	$-1.0 < MCI \le -0.5$	
6	中旱 Moderate drought	$-1.5 < MCI \le -1.0$	
7	重旱 Severe drought	MCI ≤ - 1.5	

要以季节作为研究时段,季节定义为:1、2月和上年的 12月为冬季,3—5月为春季,6—8月为夏季,9—11月为秋季。

1.4 干旱发生频率计算

对近50 a 甘肃省各季至少有1次轻旱以上干旱过程发生的年份进行统计,利用公式(3)计算出干旱发生频率:

$$P = \frac{n}{N} \times 100\% \tag{3}$$

式中,n 为实际有干旱过程发生的年数,N 为资料年代序列数,本文所用 MCI 指数资料为 1961—2010 年序列,N 取 50。

2 结果与分析

2.1 干旱发生频率

表 4 为不同区域、各个季节的平均干旱发生频 率,可以看到:春季,除甘岷地区外,其他各区发生干 旱的频率均高于50%,陇中北部高达67.9%;夏季, 河西东部、陇中北部、陇东和陇南发生干旱的频率较 高;秋季,河西东部干旱发生频率为50%,陇中北部 为48.1%,干旱发生频率较高,其余各区发生干旱 的频率相对较低;冬季,陇中北部和陇南地区发生干 旱频率较高,其余地区较低。从具体的空间分布来 看,如图 2(a)所示,春旱发生频率陇中南部、陇东北 部、陇南南部最高,在63%~69%之间,甘岷地区最 低,分别为25%、36%,其余地方春旱发生频率在 40%~55%之间,春旱的发生基本呈南少北多的分 布。如图 2(b) 所示, 夏旱发生频率与春旱基本相 似,河西东部、陇中北部在60%以上,其中,山丹站、 靖远站甚至高达71%,其余大部地区在50%左右, 而甘南夏旱发生率只有 34%;如图 2(c)所示,河西 东北部、陇中北部秋旱发生频率最高,山丹站、永昌

表 4 各区域不同季节平均干旱发生频率(%)

Table 4 Drought occurrence frequency of different parts in different seasons

区域 District	春季 Spring	夏季 Summer	秋季 Autumn	冬季 Winter
河西东部 East of Hexi corridor	59.0	62.8	50.0	40.4
陇中北部 Middle north region of Gansu	67.9	66.0	48.1	57.1
陇中南部 Middle south region of Gansu	53.2	47.4	36.5	42.9
陇东 East region of Gansu	55.8	57.7	41.0	48.1
甘岷 Gannan and Minxian	30.8	39.4	26.9	30.8
陇南 South region of Gansu	58.7	50.0	38.5	56.7

站、靖远站秋旱发生频率最高,分别为59%、57%、61%,其余大部分地方秋旱发生的频率低于45%,是全年干旱发生频率最低的季节;如图2(d)所示,冬季干旱发生频率也比较低,仅次于秋季,全区大多在40%~55%之间,陇中北部靖远站和陇南南部分别为63%和69%,而甘南只有13%。

2.2 各季节不同强度干旱日数的空间分布

1961-2010年甘肃省各季节不同等级干旱出现 天数的多年平均如图 3 所示。春季除甘南外,全省 其它大部分地区轻旱发生的天数在12 d以上,其中 河西东部、陇南南部多年平均 > 20 d;除海拔较高的 乌鞘岭站和华家岭站、甘岷地区和陇南北部外,其余 各区相对容易发生中旱,多年平均在10~15 d;河西 东部、陇中北部容易发生重旱,多年平均为7~9 d, 其余地方为3~6d;除乌鞘岭外,其余各站春季均有 特旱发生,多年平均普遍在1~3 d。综上分析,各站 春季各等级干旱发生天数都是较高的。夏季(图略) 全省范围内轻旱发生天数较多,多年平均基本都在 15 d以上,其中河西东部、陇中北部、陇东北部、陇南 南部在 20~24 d: 夏季中旱发生天数 > 10 d 的站数 也比较多,与轻旱高值中心基本一致;夏季重旱分布 除陇中北部多年平均>7 d外,其余各站多年平均发 生天数 < 6 d;除河西东部外,夏季达到特旱标准的 区域明显少于春季,且多年平均仅为1d,说明夏季 不易发生重旱甚至特旱。整体上夏季是全省各地区 降水最丰沛的季节,各等级干旱分布没有显著的南 北差异。秋季(图略),全省大部分地区轻旱发生天 数在 7~15 d,是干旱发生最轻的季节,中旱天数多 年平均一致 < 10 d, 秋季重旱分布全区较为一致且 基本 < 3 d, 是重旱发生最轻的季节, 除河西东部、陇 中北部、陇东北部外,其余各区秋季发生特旱的日数 平均为0。冬季全区发生轻旱的多年平均天数最多 (图略)。除甘南、陇东中部以及乌鞘岭站、华家岭站 外,各区冬季发生轻旱的多年平均 > 20 d,陇南南部 甚至达到 32 d;除乌鞘岭站、华家岭站和甘南外,冬 季全区发生中旱的天数均 > 10 d, 陇中北部和陇南 南部则 > 20 d, 冬季各区重旱发生的天数也明显高 于其他季节,基本在3~8d,特旱发生天数为1~2 d。总体上,研究区冬季各等级干旱发生日数在一年 中是最多的。

2.3 不同季节干旱日数和强度的年际变化特征

根据所求各站逐日 MCI 值,分别统计了逐年不同季节干旱过程内各站干旱日数之和,根据当年发生干旱站数求平均得到干旱平均持续天数;用实际发生干旱站数多少占全部站数的比例得到发生干旱

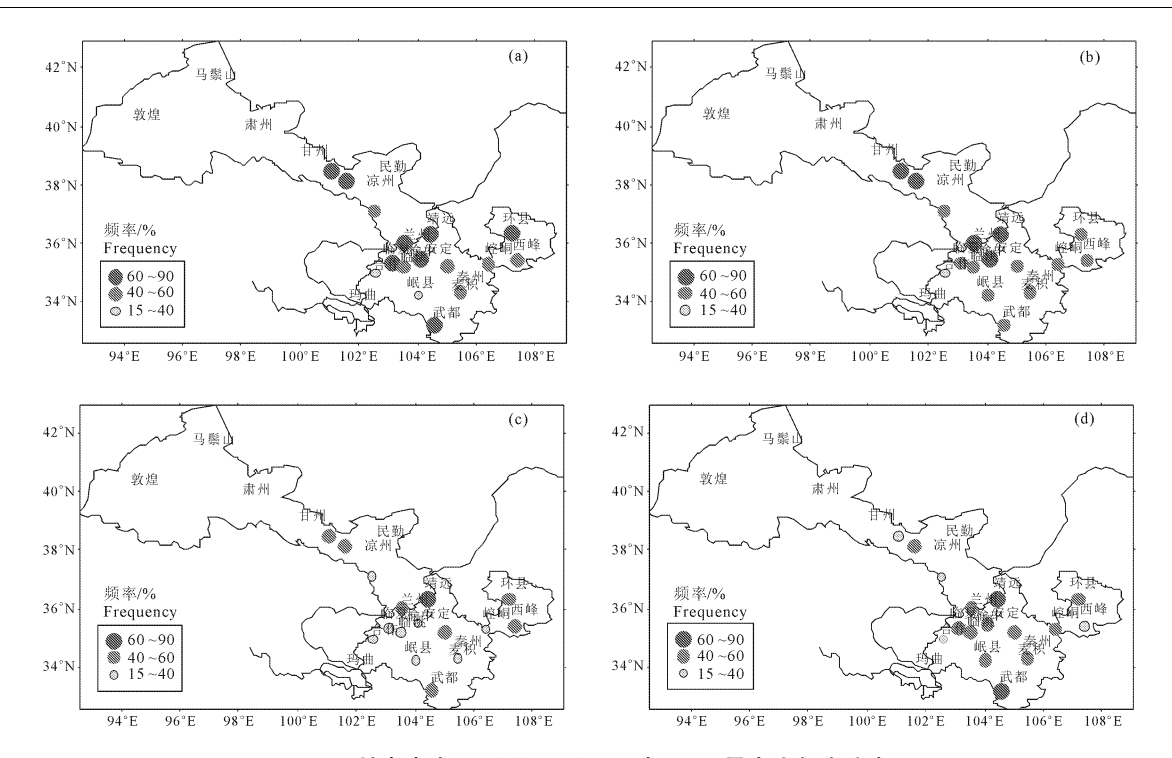


图 2 甘肃省春(a)、夏(b)、秋(c)、冬(d)干旱发生频率分布

Fig. 2 The spatial distribution of drought occurrence frequency in spring(a), summer(b), autumn(c) and winter(d) in Gansu province

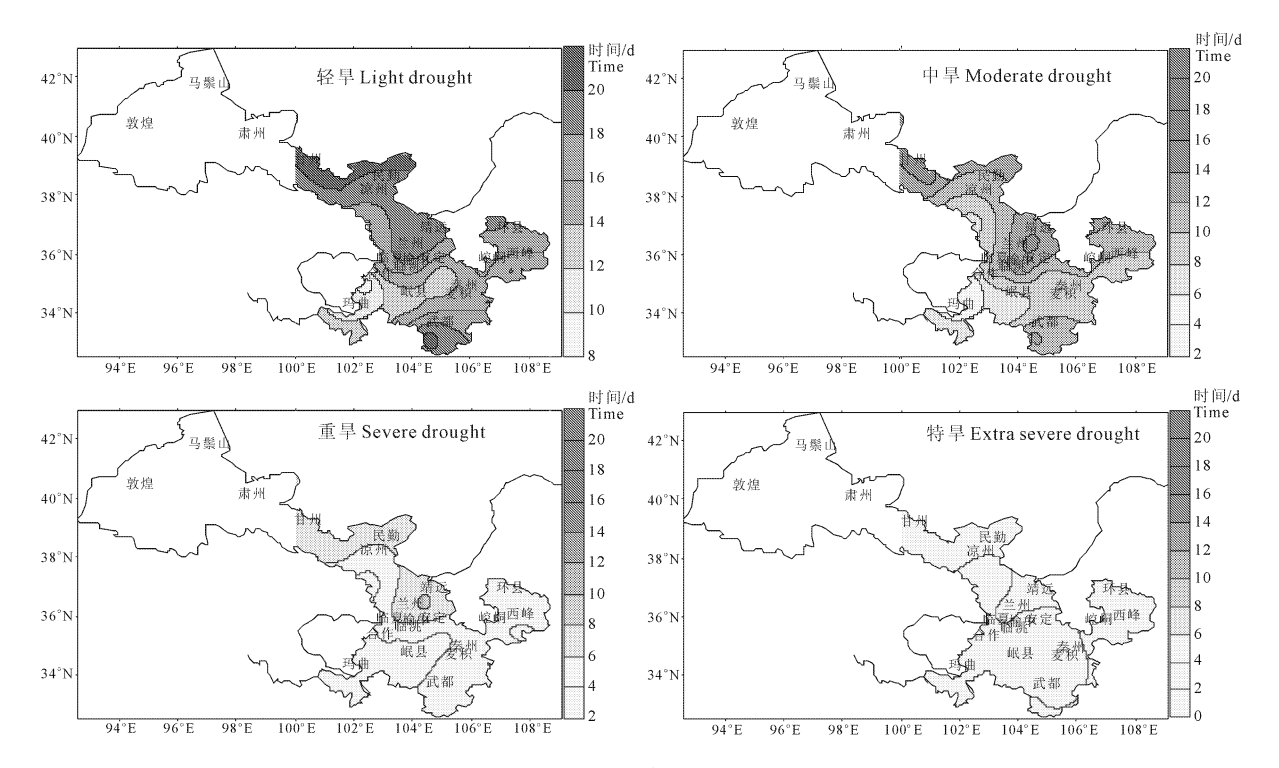


图 3 甘肃省春季不同等级干旱日数空间分布

Fig. 3 The spatial distribution of different grade drought occurrence in spring in Gansu province

站次比;将逐年所有站所有旱日的 MCI 值求和,除 以实际发生干旱站数和日数得到年平均干旱强度变 化以及日平均的干旱强度变化,从而表征干旱的严 重程度(图 4,表 5)。如图,在春季,历年平均干旱持 续日数呈波动式变化,平均干旱持续日数最多的达 84 d·站⁻¹,出现在 1962 年,最少的只有 22 d·站⁻¹, 出现在 1967 年。计算各年代平均的年平均干旱持续日数后发现: 20 世纪 60 年代为 50 $d \cdot \dot{m}^{-1}$, 70 年代为 49 $d \cdot \dot{m}^{-1}$, 80 年代为 44 $d \cdot \dot{m}^{-1}$, 90 年代为 48 $d \cdot \dot{m}^{-1}$, 21 世纪前 10 年为 50 $d \cdot \dot{m}^{-1}$, 并没有明显的变化存在。春旱站次比历年在 12% ~ 100%之间变化。1964、1967、1970、1972、1983、1988—1991、2003

年无明显干旱发生,其余多数年份均有区域性干旱 发生,1962、1966、1979、1995、2004年发生干旱站次比 均在90%以上,其中,1999年发生全域性干旱,站次 比达 100%,是近 50 a 来范围最大的一年,从站次比 的整体变化趋势看,干旱发生范围有不断扩大的趋 势。从年平均干旱强度来看,近50 a 总体变化明 显,1962年最大,达到-154.7,2003年为最小值,为 -3.6,70 年代和 80 年代年平均干旱强度较轻,90 年代以后年平均干旱强度有增强的趋势,而到 21 世 纪以后又有所减弱。日平均干旱强度近 50 a 在 -0.1~-1.8之间,平均强度在-0.7,80年代最 轻,为-0.6。有 11 a 春季干旱平均日强度都在 -1.0以上,18 a 干旱平均日强度则达不到干旱发 生标准,也主要分布在70年代到80年代末,整个春 季季节性干旱主要以轻旱为主,1962、1979、1981、 1995、1999、2000、2001、2004年达到中旱,1962年干 旱强度达到 - 1.9, 是近 50 a 最严重的一年, 达到重 旱程度。总体上,春旱发生强度呈逐渐增加的趋势。

夏季,平均干旱持续日数最多的达 $80 \text{ d} \cdot \text{站}^{-1}$, 出现在 1982 年,最少的为 26 d·站⁻¹,出现在 1988 年。20世纪60年代平均干旱持续日数为50 d· 站-1,70年代为51 d·站-1,80年代为49 d·站-1,90 年代为 50 d·站⁻¹, 21 世纪以后为 55 d·站⁻¹, 21 世 纪以来平均干旱持续日数较前期有所增加。夏旱站 次比历年在 7%~100%之间变化。1964、1967、 1978、1984、1985、1988、1992、1993、1996、1998、2003年 无明显于旱发生,1962、1969、1974、1982、1995、1997、 2000年发生干旱站次比均在90%以上,其中,1969、 1974、1982、1995 年则高达 100%, 为全域性干旱, 其 余年份均有不同程度区域性干旱发生。夏旱发生站 次比近50 a 总体呈下降的趋势。从年平均干旱强 度来看,夏旱最严重在 1982 年,达到 - 120.6,最轻 为 1988 年,强度为 - 1.2,夏旱年平均强度 60 年代 最重,70年代和80年代年平均干旱强度较轻,90年 代以后有所增强。夏旱年平均强度近 50 a 来为逐 渐增加的趋势,但较春旱强度有明显减弱。夏旱日 平均干旱强度近 $50 a 在 - 0.1 \sim -1.5$ 之间变化,平 均强度为-0.7,有23 a 夏旱平均日强度达不到干 旱发生标准,主要分布在80年代和90年代。1962、 1969、1971、1974、1982、1995、1997、2000、2009 年则达 到中旱。整个夏季季节性干旱主要以轻旱为主。总 体上,夏旱发生强度呈逐渐增加的趋势。

秋季,平均干旱持续日数最多在 1970 年,为 61 $d \cdot \dot{m}^{-1}$,最少的为 17 $d \cdot \dot{m}^{-1}$,出现在 2007 年。20 世纪 60 年代平均干旱持续日数为 40 $d \cdot \dot{m}^{-1}$,70 年代

为 34 d·站⁻¹,80 年代为 43 d·站⁻¹,90 年代为 38 d·站-1,21世纪以后为31d·站-1,整体上,秋旱平均 持续日数近50 a 呈减少趋势。秋旱站次比近50 a 在 6%~100%之间变化,有 23 a 无明显干旱发生或 发生局域性干旱,其余年份均发生区域性干旱, 1965、1972、1986、1987、1991、1997、2002 年发生干旱 站次比在90%以上,其中,1965、1972、1986、1987年 为全域性干旱,站次比达到100%。秋旱发生站次 比近 50 a 呈上升趋势。从秋旱年平均强度来看,80 年代和90年代最重,最强出现在1986年,强度达到 - 86,其余年份较轻,最轻出现在 2007 年,强度仅为 -0.8,秋旱年平均强度近50 a总体呈减轻的趋势。 秋季日平均干旱强度近 50 a 在 - 0.1 ~ - 1.6 之间 变化,仅有14年日平均强度达到轻旱以上标准,其 中 1965、1972、1986、1987、1991、1997、2002 年达到中 旱标准。秋季季节性干旱也主要以轻旱为主。与年 平均强度对应,年代日平均强度只有80年代和90 年代达到 - 0.6,其余年代日平均干旱强度在 - 0.4 左右。可见,秋季,是一年中干旱强度最轻的季节, 且强度在逐渐减轻。

冬季,干旱持续日数平均为63 d·站-1,最长为 98 d·站⁻¹,出现在 1999 年,最短为 38 d·站⁻¹,出现 在 1975 年,60 年代平均干旱持续日数为 57 d·站⁻¹, 70年代为59 d·站-1,80年代为69 d·站-1,90年代 为 66 d·站⁻¹,21 世纪以后为 65 d·站⁻¹,是一年中干 旱平均持续天数最多的,且近50 a来呈逐渐增加的 趋势,冬季干旱发生站次比近50a在6%~94%之 间变化,并呈逐渐下降的趋势。有 15 a 没有明显干 旱发生或者有局域性干旱发生,其余 35 a 均发生区 域性干旱,冬季没有全域性干旱出现,1999年冬季 干旱发生站次比为94%,为范围最大的一年。从年 平均强度来看,冬季干旱80年代和90年代较重,其 余年份较轻,与秋旱较为相似。最重出现在1999 年,强度达到 - 167.2,最轻出现在 1962 年,强度仅 为-2.1。冬季仅有 18 a 干旱日平均强度达到干旱 发生标准,其中只有 1965、1981、1988、1999 年共 4 a 达到中旱标准,其中1999年最大达-1.6。无论年 平均强度还是日平均强度,冬季干旱强度都在呈减 弱的趋势。

仅分析曲线,上述表征干旱的特征量近50年并未发生明显阶段性或持续性的变化,进一步分别对其线性趋势进行显著性检验,发现,除春季干旱平均持续日数、站次比和日平均强度的变化,夏季干旱年平均强度和日的平均强度能通过95%的显著性检验外,其余各季节各特征量虽然存在变化但并不显

30 20 10

1960 1965 1970 1975 1980 1985 1990 1995 2000 2005 2010

年份 Year

综合上述结果,我们将分析得到的干旱年份与实际 记载进行对比,发现:MCI 指数监测得到的各季节中

旱以上干旱年份与实际记载中[19-21]研究区发生干 旱典型年份基本一致。进一步说明 MCI 指数用来

著,这与曲线分析得到的结论是一致的。

另外,因降水是 MCI 指标的主要计算因子,无 雨日数也被用来与干旱强度进行对比。结果表明, 无雨日数与干旱强度存在较好的负相关关系,相关 系数高达-0.77,显著性可以通过99%以上的信度

监测和表征研究区的干旱情况是可行的。 检验。无雨日数较多的年份往往干旱强度也越强。 年干旱平均持续日数 - 🗗 年平均强度 Annual mean drought intensity Annual average duration days of drought 平均强度线性趋势 Linear tend of annual mean drought intensity 年干旱平均持续日数线性趋势 Linear tend of annual average duration days of drought Annual average days without rain 站次比 Drought stations proportion 年平均无雨日数线性趋势 站次比线性趋势 Linear tend of drought stations proportion Linear tend of annual average days without rain mean drought intensity Annual average days without rain Drought stations proportion 年于早平均特续日数/(d·站 davs of drought/(d · stations" Annual average duration 100 70 -60 年平均无雨日 均强) -80 50 60 30 -12055 20 -140 Annual 50 10 -160 1960 1965 1970 1975 1980 1985 1990 1995 2000 2005 2010 1960 1965 1970 1975 1980 1985 1990 1995 2000 2005 2010 年份 Year 年份 Year (a) 春季 Spring 120 days of drought/(d · stations-1) 年于旱平均持续日数/(d·站-Annual average days without rain Drought stations proportion mean drought intensity 80 Annual average duration 100 年平均无雨日数 年平均强度 30 20 Annual 1960 1965 1970 1975 1980 1985 1990 1995 2000 2005 2010 1960 1965 1970 1975 1980 1985 1990 1995 2000 2005 2010 年份 Year 年份 Year (b) 夏季 Summer 120 70 年于旱平均持续日数/(d·站days of drought/(d • stations Annual average days without rain Drought stations proportior 年平均强度 Annual mean drought intensitv Annual average duration +₂39.559 -30 -40 -50 -60 20 -80 -90 $1960\ 1965\ 1970\ 1975\ 1980\ 1985\ 1990\ 1995\ 2000\ 2005\ 2010$ 1960 1965 1970 1975 1980 1985 1990 1995 2000 2005 2010 年份 Year (c) 秋季 Autumn mean drought intensity Drought stations proportion 年干旱平均持续日数/(d·站 days of drought/(d · stations 80 Annual average duration 70 -80 50 40 100

甘肃省各季节干旱平均持续日数、站次比和强度历年变化与无雨日数的对比

(d) 冬季 Winter

-120

1960 1965 1970 1975 1980 1985 1990 1995 2000 2005 2010

年份 Year

Comparison between the annual average drought duration, stations proportion, intensity and rainless days in different season in Gansu province

表 5 不同年代各季节干旱站次比与强度比较

m 11 6	0		· · · · 1 · · · · 1 · · · · · · · · · ·	
Table 5	Comparison of drought	stations proportion and	intensity in differen	t seasons of the latest 50 years

		干旱强度 Drought intensity				站次比 Drought stations proportion			
年代 Decade	春季 Spring	夏季 Summer	秋季 Autumn	冬季 Winter	春季 Spring	夏季 Summer	秋季 Autumn	冬季 Winter	
1960s	-0.69	-0.81	-0.41	-0.52	49.4	63.1	32.5	45.8	
1970s	-0.76	-0.65	-0.44	-0.63	60.6	56.9	38.1	50.0	
1980s	-0.63	-0.51	-0.65	-0.68	48.6	43.8	50.0	52.1	
1990s	-0.83	-0.66	-0.61	-0.70	61.9	53.1	54.9	53.8	
2000 - 2010	-0.76	-0.66	-0.44	-0.44	57.5	54.9	38.9	37.5	

3 小结与讨论

分析甘肃省近50 a 不同季节干旱特征结果表明:

- 1) 甘肃省干旱发生频率,总体上春旱和夏旱发生频率最高,为55.4%和55.0%;秋旱发生频率最低,为41.1%;冬季干旱发生频率为46.3%。
- 2) 夏季和秋季更容易出现全省大范围干旱,分别有4a,冬季最少只有1a,近50a来,干旱发生范围在全年各季节都有不同程度的增加。
- 3) 春季各等级干旱发生天数均较高,且更容易发展成为重旱甚至特旱;夏季易发生大范围的轻旱和中旱,而严重干旱发生较少;秋季干旱发生日数最少,且干旱强度也最轻;冬季和夏季相似,容易发生大范围轻旱和中旱。总的来说,甘南地区干旱发生最少,而河西东部、陇中北部和陇中南部发生干旱较多。
- 4)各季节干旱平均持续日数,冬季最长,秋季 最短。春季干旱强度最强,秋季最弱,春季更容易发 生中旱以上等级的干旱。且干旱强度与实际无雨日 数呈显著的负相关关系。

目前,MCI 指数已在国家气候中心的大力推广之下投入正式业务化应用,从全国范围的干旱监测情况来看,成效显著。无论是对干旱演变过程的反映,还是对干旱强度的监测,MCI 指数均优于以往的干旱监测指标,其所得结果更接近于实际干旱发生状况。对研究区的干旱监测亦然。同时,用于计算MCI 指数的实时资料获取方便,计算严密科学,且具有客观、定量的优点,也更易于操作。因此,基于 MCI 指数对研究区近 50 a 的干旱变化特征进行分析合理可信。本文分析结果可以为以后研究甘肃干旱的影响因子及发生机理提供基础信息,并为干旱预报、预警及制定减缓干旱影响的适应性对策提供依据。

另外,由于气象干旱综合指数仅从气象角度分析干旱的发展及分布特征,并未考虑灌溉、耕作等人为因素,不能完全反映干旱对农业生产的影响。所以,文中气象干旱覆盖范围和作物实际受旱面积的对比也不可能具有完全一致变化特征,但从气象为农业生产服务的角度出发,结合甘肃雨养农业的实

际,气象干旱综合指数可作为一项重要的气象指标, 辅助指导水利规划、农业生产和生态建设。

参考文献:

- [1] 李栋梁,刘德祥,甘肃气候[M],北京:气象出版社,2000.
- [2] 尹宪志,邓振镛,徐启运,等.甘肃省近 50a 干旱灾情研究[J]. 干旱区研究,2005,22(1):120-124.
- [3] 邓振镛.干旱地区农业气象研究[M].北京:气象出版社,1999.
- [4] 钱正安,吴统文,宋敏红,等.干旱灾害和我国西北干旱气候的研究进展及问题[J].地球科学进展,2001,16(1);28-38.
- [5] 李维京,赵振国,李 想,等.中国北方干旱的气候特征及其成因的初步研究[J].干旱气象,2003,21(4):1-5.
- [6] 袁文平,周广胜.干旱指标的理论分析与研究展望[J].地球科学进展,2004,19(6):982-991.
- [7] 王劲松,郭江勇,周跃武,等.干旱指标研究的进展与展望[J]. 干旱区地理,2007,30(1):60-65.
- [8] 姚玉璧,张存杰,邓振镛,等.气象、农业干旱指标综述[J].干旱地区农业研究,2007,25(1):191-195.
- [9] 周晋红,李丽平,秦爱民,等.山西气象干旱指标的确定及干旱气候变化研究[J].干旱地区农业研究,2010,28(3):240-247.
- [10] 王志伟,翟盘茂.中国北方近50年干旱变化特征[J].地理学报,2003,58(ZI):61-68.
- [11] 郭江勇,李耀辉,王 文,等.甘肃黄土高原春旱的气候特征及 预测方法[J].中国沙漠,2004,24(2):211-217.
- [12] 卫 捷,马柱国.Palmer干旱指数、地表湿润指数与降水距平的比较[J].地理学报,2003,58(增刊);117-124.
- [13] 张 强. 华北地区干旱指数的确定及其应用[J]. 灾害学, 1998.13(4):34-38.
- [14] 李红梅,王 钊,高茂盛,等.CI指数的改进及其在陕西省的适用性分析[J].干旱地区农业研究,2015,33(3):260-266.
- [15] 张 永,陈发虎,勾晓华,等.中国西北地区季节间干湿变化的时空分布—基于 PDSI 数据[J].地理学报,2007,62(11):1142-
- [16] 张存杰.气象干旱监测指标改进及应用情况介绍[R].北京: 国家气候中心,2013.
- [17] 成青燕.不同干旱指标在甘肃旱作区的研究及未来干旱预估 [D]. 兰州: 兰州大学, 2014.
- [18] 中国气象局国家气候中心.全国气候影响评价(2013年)[M]. 北京:气象出版社,2014.
- [19] 西北区域气候中心. 甘肃省 2005—2010 年月、季、年气候影响评价[R]. 兰州: 西北区域气候中心, 2011.
- [20] 甘肃省农村年鉴编委会.2000—2010年甘肃省农村年鉴[M]. 北京:中国统计出版社,2000-2010.
- [21] 白虎志,李耀辉,董安祥,等.中国西北地区近500年极端干旱事件(1470—2008)[M].北京:气象出版社,2011.